

山地河道にかけ砂流送過程に関する研究

京都大学防災研究所 正員 芦田 和男
 京都大学防災研究所 正員 高橋 保
 京都大学防災研究所 正員 沢田 豊明
 兵庫県 正員 ○渡辺 弘昌

1 まえがき 山地河道では、巨礫により階段状の縦断形状が形成され、シートとアールの区間が混在している場合が多い。このような山地河道にかけ砂礫の流送過程について、輸送能力の小さなアール部での堆積・貯留作用の結果、流砂量はアール部での輸送能力に支配され、さらに輸送能力はアール内の河床形状に規定される。本研究は、このアール部での流砂過程を明らかにし、山地流域からの土砂流送の予測に役立てようとするものである。

2 実験方法 実験水路は、観測資料の豊富な穗高砂防観測所の試験流域である足洗谷のヒル谷本川河道を1/3にモデル化して、二次元および三次元のものを作成した。アール部の縦断形状は図-1に示されている。二次元水路はアクリル製で、側方からの観察が可能である。水理条件はシート区間での単数を現地のものと一致させ、単位幅流量は現地の出水記録をもとに33~340 cm^3/s の範囲で与えた。河床材料には平均粒径1.06 mmの比較的一様な砂を用いた。実験は三種類に分かれ、二次元水路では実験AとB、三次元水路では実験Cを行った。実験Aでは、アール出口の高さにあわせて砂礫を水平に敷きならした後通水し、河床が洗掘されていく過程を調べた。一方実験Bでは、一定の流量と給砂量のもとでアールに砂礫が堆積していく過程を調べた。また実験Cでは実験Aと同じ手順を行い、アール部での拡幅による影響を調べた。測定項目は河床形状、水面形、アールからの流出土砂量である。二次元水路にかけ河床の測定には、8ミリカメラを用いた。

3 実験結果と考察 図-2はアールにかけ洗掘の進行状況の一例を示したもので、河床がほぼ相似形を保ながら低下していくのがみられる。河床形状を規定する諸量 L_s , L_{su} , D_{su} , D_{sd} , ϕ_u , ϕ_d (図-1)について、全データからつぎの結果が得られた。

$$L_s = 50 \text{ dm} + 7.52 D_o + 0.421 (Z_b + 4h) \quad \text{---(1)}$$

$$L_{su}/L_s = 0.47, \quad D_{su}/L_s = D_{sd}/L_s = 0.293, \quad \phi_u = 27.0^\circ, \quad \phi_d = 26.8^\circ$$

一方、図-3は堆積の進行状況を示したもので、水脈の衝突点(b)を中心に堆積が進み、全体については河床形状の相似性は認められない。

洗掘孔からさきあげられた砂礫は流下する過程で一部が沈降し、浮遊、揚流の両者の形態でアールから流出す

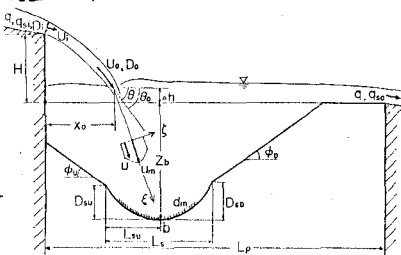


図-1 記号説明図

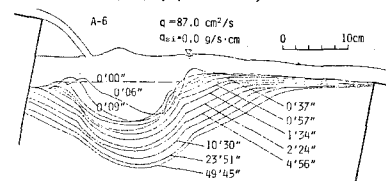


図-2 洗掘の進行状況

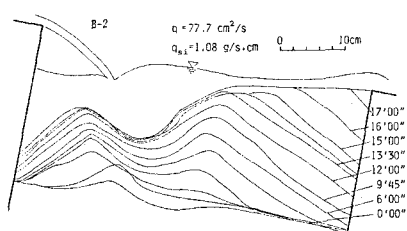


図-3 堆積の進行状況

KAZUO ASHIDA, TAMOTSU TAKAHASHI, TOYOAKI SAWADA, HIROMASA WATANABE

る。いま、アールからの流出土砂量 Q_{so} が b 軸にかけた底面流速 U_b で規定されるものと仮定し、さらに U_b が

$$U_b = R \times U_0 / \sqrt{z_b / D_0} \quad \dots \dots \dots (2)$$

で与えられるものとする。ここに $z_b = (z_b + \Delta h) / \sin \theta$ 、 R は定数である。図-4は、 z_b の実測値を用いて計算される U_b/U_0 と、 Q_{so} との関係を示したものである。多少のばらつきはあるものの、ほぼ次式（図中の実線）でその関係が表わしうる。

$$\frac{Q_{so}}{\left(\frac{C}{P}-1\right) g d_m^3} = 2.015 \times 10^{-6} \times \left(\frac{U_0^2}{\left(\frac{C}{P}-1\right) g d_m}, \frac{D_0 \sin \theta}{z_b + \Delta h} \right)^{6.62} \quad \dots \dots \dots (3)$$

$$\text{ただし } 2.5 < \frac{U_0^2}{\left(\frac{C}{P}-1\right) g d_m}, \frac{D_0 \sin \theta}{z_b + \Delta h} < 10, \quad \frac{\sqrt{g d_m^3}}{v} = 87.12$$

また図-4には堆積過程での実験値もあわせて記入したが、それらは(3)式から大きくはずれている。しかし堆積が進むにつれ、(3)式に近づいていく。これは堆積過程の洗掘孔の形状が洗掘過程のそれに近づいていくためである。（図-2、図-3）

実験C(三次元)の場合には、水脈が突入後三次元的に拡散するため、河床冲積断方向の変化が著しくなり、また洗掘孔は実験A(二次元)に比べて広く浅くなる。しかしアール出口での流砂濃度については、流入水の水理条件を等しくした場合、図-5に示されるように両者の間に顕著な差はみられない。

4 流出土砂量予測モデル 実験結果とともに流出土砂量の予測法について考察しよう。基礎式はつきの(4),(5)式である。

$$V_w = f_{n1}(z_b, L_s, L_{su}, D_{su}, D_{so}, \phi_u, \phi_d, L_p, x_0, \Delta h) \quad \dots \dots \dots (4)$$

$$Q_{so} = (1-\lambda) d V_w / dt + Q_{si} = f_{n2}(z_b, \Delta h, U_0, \theta, D_0, d_m, Q_{si}) \quad \dots \dots \dots (5)$$

ここに V_w はアールの未洗砂部分の容積であり、 f_{n1} は幾何学的に求まる関数、また f_{n2} は(3)式で与えられる。各パラメータについては、 $L_s \sim \phi_d$ は(1)式で与えられ、 x_0, U_0, D_0, θ はシート末端での流速と水深から計算される。また底は第一近似としてアール出口断面に対する限界水深と等置する。さらに Q_{si} は、すぐ上流側のアールの Q_{so} と側方からの流入土砂量の和として与えられる。以上の関係を用いて、(4),(5)式をもとに各アールに対して繰り返し計算を行なえば、 Q_{so} の時間的追跡が可能である。図-6は、流量と輸送量を変化させた場合の各アールの Q_{so} の変化を追跡したものである。実験値は三次元水路で得られたものであるが、そのような場合でも二次元問題として取り扱うことにより、流出土砂量の予測が可能であることがわかる。

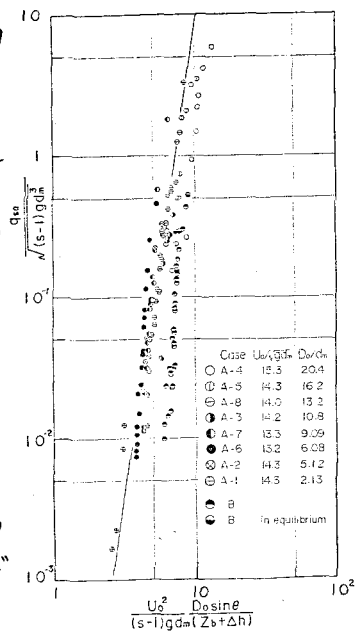


図-4 U_b と Q_{so} の関係

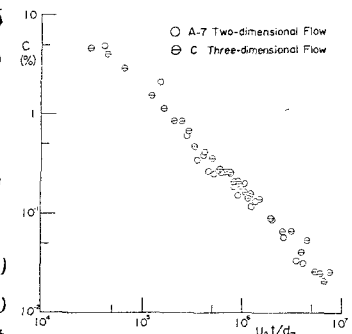


図-5 流砂濃度の比較

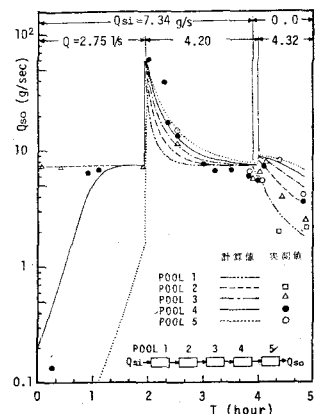


図-6 流出土砂量の予測